

## Формирование и эволюция почв обсыхающих территорий соленых озер (на примере озера Чаны)

В. А. КАЗАНЦЕВ, Л. А. МАГАЕВА, М. Т. УСТИНОВ\*, М. В. ЯКУТИН \*

Институт водных и экологических проблем СО РАН  
630090 Новосибирск, Морской просп., 2

\*Институт почвоведения и агрохимии СО РАН  
630099 Новосибирск, ул. Советская, 18

### АННОТАЦИЯ

Формирование почвенного покрова на обсохшей территории начинается сразу и характеризуется высокой скоростью почвообразовательных процессов. За период 40–60 лет формируются солонцы, солончаки, луговые почвы, образующие сложные комплексы. Пульсирующий характер обсыхания – обводнения усложняет общую картину. Более древние комплексы почв подвергаются размыву, перекрываются свежими наносами, на которых формируются молодые почвы, часто даже другого типа (солончаки на погребенных солонцах).

Установлено, что почвообразование на интенсивно обсыхающих территориях соленых озер идет по дерново-луговой стадии, минуя болотную, что отличается от устоявшихся представлений. Весьма интенсивны процессы формирования эоловых форм рельефа на участках обсохшего озерного дна.

В статье приведены галогеохимическая характеристика почв, особенности функционирования микробиоты. Представлены классы галогеосистем. Показана гидрохимическая динамика грунтовых и поверхностных вод. Такие исследования на территории Сибири проведены впервые

### ВВЕДЕНИЕ

Уникальным природным объектом для изучения процессов галогенеза на юге Западной Сибири является оз. Чаны. Оно расположено на территории Новосибирской области в подзоне южной лесостепи и занимает центральную часть Барабинской равнины. Его уникальность – в наличии редких островных ландшафтов, фрагментов сосновых и дубовых лесов на Казанцевском мысе северной окраины озера и гнездовой черноголовых чаек, в своеобразии конфигурации – разделяется на отдельные акватории, называемые “плесами” [1–3]. Одним из наиболее крупных является Юдинский плес – крайний западный участок озера, раньше соединявшийся с восточной акваторией (Больши-

ми Чанами) узкими протоками. К настоящему времени Юдинский плес почти полностью обсох, причиной чего является не только длительный период аридизации, но и построенная в 70-х гг. дамба, перекрывшая сообщение между двумя акваториями.

Юдинский плес имеет котловину округлой формы диаметром свыше 30 км. В 40-х гг. XX в. урез воды был несколько ниже отметки 108 м, берег озера на севере почти подходил к огородам с. Блюдцы, позднее он отступил на юг на 5–10 км, бывшие острова стали гравами [3]. Мелководный участок плеса остался лишь в центральной части, его конфигурация изрезанная, ориентировка вытянутой части ЗЮЗ – ВСВ, протяженность до 15 км, ширина от 2 до 10 км, максимальная глубина 0,6 м, средняя – 0,1–0,3 м, летом в

прибрежной полосе сплошное распространение плавучих водорослей. Постепенное усыхание Юдинского плеса оз. Чаны сделало обсохшую акваторию естественным полигоном для изучения современного галогенеза, почвообразования и микробиологических процессов.

## ОБЪЕКТЫ И МЕТОДЫ ИССЛЕДОВАНИЙ

Объекты исследований – почвы, озерные отложения, поверхностные, грунтовые воды, донные осадки остаточного водоема, растения-индикаторы ландшафтных условий, биомасса микроорганизмов в почвах на дне бывшего Юдинского плеса оз. Чаны и его окраинах.

Цель – изучение галогенеза, почвообразования, микробиологических процессов в молодых обсыхающих озерных котловинах с semiаридных и аридных территорий. Исследования проводились в сезонной динамике с 2000 по 2002 г. (трехлетний цикл наблюдений), частично в рамках инициативных и экспедиционных проектов РФФИ (гранты 00–04–49487; 01–04–63119; 02–04–63139) и интеграционного проекта № 33 СО РАН “Обь–Иртышская бассейновая система: формирование, антропогенная трансформация, экологическое состояние и стратегия водопользования”. Ведущая организация – Институт водных и экологических проблем СО РАН (ИВЭП СО РАН).

В процессе проведения работ внутри экспедиционной группы обязанности были распределены следующим образом: В. А. Казанцев – общее руководство, теоретические аспекты галогенеза; Л. А. Магаева – изучение гидрогеологических, гидрохимических условий, выявление галогеосистем и режимов их функционирования; М. Т. Устинов – исследования особенностей формирования почв, обоснование теоретических аспектов почвообразования на обсыхающих территориях; М. В. Якутин – изучение микробиологических процессов на бывшей акватории Юдинского плеса оз. Чаны.

Наблюдения и отборы образцов осуществляли по трансект-катенам и с использованием отдельных точечных опробований, аналитические определения почв, грунтов и вод –

в химических лабораториях Института почвоведения и агрохимии СО РАН и проектном институте Запсибгипроводхоз по действующим ГОСТам. Основная трансект-ката на была намечена через обсохшую котловину озера с севера на юг – от с. Блюдцы до центральной ее части, включая остаточный водоем. Она пересекла ряд гривных повышений (бывших островов и осередков), ложбин и понижений, две озерные террасы и пойму. Ее протяженность около 15 км, точек наблюдений тоже 15. Образцы почв и грунтов отбирали на определение солей в водной вытяжке, гранулометрического состава, влажности, сodoустойчивости, микробиологической активности по общепринятым методикам. Отбор производили с достаточной поинтервальной обеспеченностью до уровня грунтовых вод, включая все почвенные горизонты и характерные слои почвообразующих и подстилающих пород. Грунтовые воды брали в герметичные полиэтиленовые сосуды на всех опорных разрезах, поверхностные воды опробовали выборочно. Последние включали и близлежащие озера для сравнения и выяснения возможной грунтовой подпитки. На всех точках отбирали растения – индикаторы ландшафтных условий по количественному соотношению. Вели детальное описание разрезов, ландшафтных условий и экзодинамических процессов: образования бугров и дюн, проявления трещиноватости, характера полигонального растрескивания, наличия микrorучейкового стока, заболачивания, засоления, мочажин, формирования органогенных образований и т. д. Все это необходимо для комплексной оценки характера, степени и направленности галогеохимических и микробиологических процессов, интенсивности почво- и рельефообразования.

## ТЕОРЕТИЧЕСКИЕ АСПЕКТЫ ПОЧВООБРАЗОВАНИЯ И ГАЛОГЕНЕЗА

Настоящее и прошлое Чановских приозерных понижений “записано” в структуре почвенного покрова, сформированного и формирующегося на обсыхающей акватории Юдинского плеса. Высокую динамичность и комплексность почв часто определяет пуль-

сирующий характер процессов усыхания – обводнения. Юдинский плес был наиболее засоленной частью оз. Чаны ( $4,5-4,9 \text{ г/дм}^3$ ) [1]. Дамба, построенная в 1970–1971 гг., отчленила его от остальной части озера, что ускорило обсыхание котловины. В настоящее время процессы длительного усыхания чередуются с короткими периодами обводнения, что делает бывшую акваторию естественным полигоном для исследований почвообразования от начальных фаз до полнопрофильного (зрелого) развития почв.

Таким образом, антропогенное воздействие послужило катализатором ускоренного развития ландшафтов, включая почвенный покров. Впервые факт интенсивной эволюции почв озерных депрессий выявлен Н. В. Мирошниченко [1] по данным водных вытяжек из почв и химических анализов грунтовых вод. Однако, по мнению данного автора, развитие идет через болотную стадию, что для рассматриваемой территории при ускоренных процессах усыхания не подтверждается.

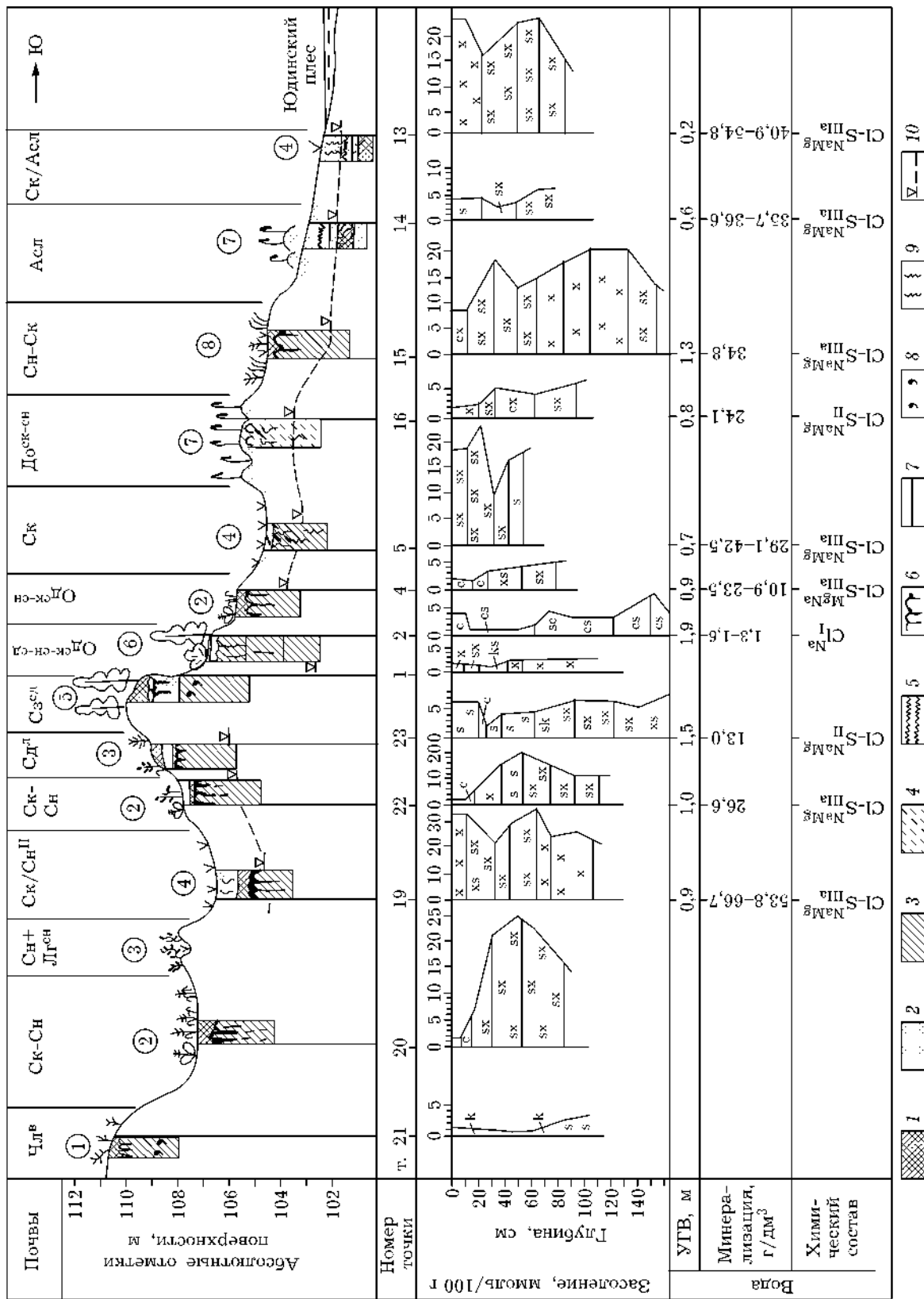
Исследования прошлого и настоящего Причановской равнины целесообразно проводить путем почвотестирования на основе трансект-катен. Понятие о трансект-катене предложено М. Т. Устиновым [4]. Следует сказать, что оно несколько иное, чем близкое по значению понятие полигон-трансект в ландшафтovedении. Последнее есть “вырезка” из местности [5] – сопряженная система фаций, расширенный ключевой участок. Он не отражает полностью ландшафтной специфики территории как по латерали, так и по вертикали, так как в пространственном отношении ограничен. По вертикали он включает биоту, почвы и почвообразующие породы. Наблюдения за сезонной динамикой функционирования, как правило, “дискретны”, ведутся на конкретных объектах – выделах фаций. Они обычно охватывают флористические и климатические аспекты: сезонную динамику растительности, замеры температуры воздуха, почв, влажности, промерзания – оттаивания почв, мощности снегового покрова, количества осадков и др. Такой подход часто исключает возможность выявления глобальных и региональных потоков вещества, энергии и информации через механизмы дальнего аэрального переноса, поступления с грунтовыми и подземными водами, в

том числе боковым привносом и выносом со льем с внутрипочвенным стоком и др. Не фиксируются процессы современного рельефообразования (например, дюн), исключительно быстрые сукцессионные биотические замещения в стороне от полигона-трансекта. Трансект-катена пересекает все доминантные геосистемы данного ландшафта. Исследования также посезонные, но с выявлением направленности геохимических потоков, с расширением наблюдений в обе стороны от точек на трансект-катене на расстояние, достаточное для фиксации всех реликтовых, прогрессивных и консервативных черт и общей направленности геодинамических процессов. Вертикальная мощность объектов изучения кроме почвенно-грунтовой толщи включает грунтовые воды, водовмещающие породы и водоупоры, т. е. и здесь сфера наблюдений расширена и охватывает всю динамичную часть зоны гипергенеза.

Таким образом, чтобы получить представительные выводы о прошлом, настоящем и будущем оз. Чаны и Причановской равнины в целом, необходимо по трансект-катенам изучить структуру геосистем. Она объединяет парагенетический ряд геосистем (“каркас” – пространственный аспект), характер взаимосвязей и внутреннего функционирования (входные – выходные данные и вертикальный межкомпонентный аспект), сезонные, годовые и многолетние изменения (временной аспект).

На первом этапе наших исследований изучена выбранная на основании рекогносировочных маршрутов типовая трансект-катена (поликатена), отражающая весь спектр обсыхающей территории Юдинского плеса от остаточного водоема до склона водораздела у с. Блюдцы. Она включает гривы – останцы (бывшие острова и осередки), ложбины, плоские участки обсохшего дна – места современного дюнообразования (рис. 1). Парагенетический ряд почв отражает особенности засоления – рассоления и фазы почвообразования на Причановской равнине, являясь пространственно-временным носителем информации настоящего, прошлого и будущего бассейна оз. Чаны.

Эволюционно-генетический почвенный ряд вдоль поликатены от остаточного водоема до склона у с. Блюдцы (см. рис. 1) следующий:



*Рис. 1. Почвенно-галогеохимический профиль (поликатена). Составили Л. А. Магаева, М. Т. Устинов, В. А. Казанцев.*

Почвы: Чл<sup>в</sup> – лугово-черноземная выпелоченная; Ск-Сн – солончак-солонец луговой; Сн+Лг<sup>сн</sup> – древний солонцово-луговой комплекс; Ск/Сн<sup>II</sup> – солончак на погребенном солонце среднем; Сд<sup>п</sup> – солодъ луговая солончаковая; Сз<sup>сад</sup> – темно-серая осололедяя поверхности слабозасоленная; Од<sup>ск-сан-сл</sup> – пригривно-террасная дефляционно-озерная солончаково-солонцевато-осололедяя; Од – террасная дефляционно-озерная солончаково-солонцеватая; Ск – солончак луговой супесчаный; Ск/Асл – солончак на погребенном озерной пойменно-слоистой почве.

Растительность: 1 – оstepенный разнотравно-злаковые луга; 2 – разнотравно-злаковые луга; 3 – разнотравно-злаковые луга; 4 – солянковые сообщества; 5 – березово-осиновый колок; 6 – разнотравный луг с кустарником и березой; 7 – тростник на дюнах с редкой полынью и злаками; 8 – злаково-солончаково-пойманный луг.

Тип засоления: х – хлоридный; сх – сульфатно-хлоридный; с – содовый; с – содовый; к – карбонатный.

Химический состав воды дан индексом солевого состава по О.А. Алемкину.  
Характеристика почвенных профилей: 1 – гумусовые горизонты, в том числе потребленные; 2 – пески; 3 – суглинки; 4 – супеси; 5 – гумусовые прослойки; 6 – столбчатая отдельность; 7 – слоистость; 8 – карбонаты; 9 – серые и охристые потажинны; 10 – уровень грунтовых вод.

т. 13 – солончак на погребенной озерной пойменно-слоистой почве (Ск/Асл); т. 14 – озерная пойменно-слоистая песчаная почва (Асл); т. 15 – солонец-солончак луговой мелкоореховатый тяжелосуглинистый (Сн-Ск); т. 16 – дюнно-озерная солончаково-солонцеватая почва (До<sup>ск-сан</sup>); т. 5 – солончак луговой супесчаный (Ск); т. 4 – дефляционно-озерная солончаково-солонцеватая почва (Од<sup>ск-сан</sup>); т. 2 – пригривно-террасная дефляционно-озерная солончаково-солонцевато-осололедяя почва (Од<sup>ск-сан-сл</sup>); т. 1 – темно-серая осололедяя поверхности слабозасоленная почва (Сз<sup>сад</sup>); т. 23 – солодъ луговая солончаковая (Сд<sup>п</sup>); т. 22 – солончак-солонец луговой (Ск-Сн); т. 19 – солончак луговой на погребенном солонце среднем мелкоореховато-столбчатом тяжелосуглинистом (Ск/Сн<sup>II</sup>); древний солонцово-луговой комплекс (Сн + Лг<sup>сн</sup>); т. 20 – солончак-солонец луговой зернисто-мелкоореховатый тяжелосуглинистый (Ск-Сн<sup>п</sup>); т. 21 – лугово-черноземная глубокосолончаковая почва (Чл<sup>в</sup>). Характеристика местоположений и разрезов точек приведены в табл. 1 и 2.

Таким образом, на рассматриваемой территории, находящейся в черноземной зоне, в силу ландшафтно-гидрогеологических и галогеохимических особенностей, в первую очередь обусловленных близостью соленых грунтовых вод, зональные почвы имеют подчиненное значение, уступая место сложно-пестрому комплексу почв преимущественно гидроморфного ряда. Особенности формирования современного почвенного покрова обусловлены многообразием причинно-следственных связей, в основе которых:

- уменьшение общей увлажненности территории и повышение степени аридизации;
- интенсивная солнечная инсоляция и высокие летние температуры;
- амплитуды внутривековых и внутригодичных циклических колебаний уровня воды озера;
- залегание на слабовогнутом озерном дне или плоской и слабоволнистой равнине;
- высокое стояние уровня грунтовых вод (0,2–1,9 м) и их повышенная минерализация (10,9–66,7 г/дм<sup>3</sup>);
- наличие древних грив, повышенных участков, бывших озерными отмелями;
- высокая биоактивность на обсыхающей территории;

Т а б л и ц а 1  
Характеристика почв и экосистем

Геоморфологическое положение	Растительность
<b>T. 13. Солончак на озерной пойменно-слоистой почве</b>	
Берег плеса, 62 м от уреза воды	Галофитный луг
<b>T. 14. Озерная пойменно-слоистая песчаная почва</b>	
Обсохшее дно, чередуются влажные и сухие участки, формируются дюны	Одиночные побеги тростника, на дюнах – разреженный тростник
<b>T. 15. Солонец-солончак луговой</b>	
600 м к северу от т. 14. Бывший остров или осередок	Злаково-солянково-полынnyй луг
<b>T. 16. Дюнно-озерная солончаково-солонцеватая почва</b>	
Дюнное повышение на окраине осередка	Разнотравно-полынно-тростниковый луг
<b>T. 5. Солончак луговой супесчаный</b>	
Сухое озерное понижение	Солянковое сообщество
<b>T. 4. Дефляционно-озерная солончаково-солонцеватая почва</b>	
Низкая терраса Юдинского плеса	Разнотравно-полынная ассоциация
<b>T. 2. Пригравно-террасная дефляционно-озерная солончаково-солонцевато-осололедая почва</b>	
Высокая озерная терраса	Разнотравно-злаковый луг
<b>T. 1. Темно-серая осололедая поверхности слабозасоленная почва</b>	
Склон грави южной экспозиции, привершинная часть грави	Осиново-бересовый колок с густым двухъярусным подлеском из кустарников черемухи, боярышника, шиповника. Склон остеиненный, обрывистый
<b>T. 23. Солодь луговая солончаковая</b>	
Средняя часть склона северной экспозиции пологой грави	Разнотравно-злаковый луг. Преобладают вейники, мятыник. Встречаются молокан ( <i>Laetica L.</i> ), полынь каменная ( <i>Artemisia rupestris L.</i> ), полынь морская ( <i>Artemisia pontica L.</i> ), крестовник ( <i>Senecio L.</i> )
<b>T. 22. Солончак-солонец луговой</b>	
Шлейф склона грави северной экспозиции	Злаково-полынно-разнотравный луг. Преобладает подорожник солончаковый ( <i>Plantago maritima L.</i> ). В обилии кермек ( <i>Limonium Mill.</i> ), синеголовник ( <i>Eryngium</i> ), полынь каменная ( <i>Artemisia rupestris L.</i> ), примеси вейника, мятыника
<b>T. 19. Солончак на погребенном солонце среднем</b>	
Межгравиная ложбина бывшего дна озера	Солянковые ассоциации с разреженной галофитной растительностью (солерос – <i>Solinaria</i> )
<b>T. 20. Солончак-солонец луговой</b>	
Котловина бывшего озера. Абс. отм. 107 м	Разнотравный полынно-злаковый луг с проективным покрытием до 90 % и средней высотой травостоя 0,3 м. Злаки, полынь ( <i>Artemisia</i> ), бескильница ( <i>Ruccinellia</i> )
<b>T. 21. Лугово-черноземная глубокосолончаковатая почва</b>	
Северная окраина озерной котловины бывшего Юдинского плеса, у с. Блюдцы, абс. отм. 111 м Плоскоравнистая пологонаклонная поверхность	Разнотравно-злаковый остеиненный луг. Проективное покрытие до 90 %. В видовом составе преобладают злаки, осочки, зопник ( <i>Phlomis</i> ), лабазник ( <i>Filipendula</i> ), лисохвост ( <i>Alopecurus</i> ), полынь ( <i>Artemisia</i> ), подмаренник ( <i>Galium</i> ), вероника ( <i>Veronica</i> ), мятыник ( <i>Poa</i> ), костер ( <i>Bromus</i> ), щавель конский ( <i>Rumex confertus Willd</i> )

Т а б л и ц а 2  
Характеристика почвенных разрезов

Горизонт	Интервал, см	Краткое описание слоев
1	2	3
<b>Т. 13. Солончак на озерной пойменно-слоистой почве</b>		
I	0–20	Суглинок серый иловатый, икряно-творожистый
II	20–40	Песок оглиненный буровато-серый, обводненный
III	40–45	Песок иловатый темно-серый, водонасыщенный
IV	45–60	Песок иловатый желто-серый, водонасыщенный
V	60–80	Песок тонкий, иловатый темно-серый Вскипание от HCl по всему разрезу
<b>Т. 14. Озерная пойменно-слоистая песчаная почва</b>		
I	0–10	Песок тонкий желтовато-серый, влажный, рыхлый
II	10–30	Переслаивание песков охристых, желто-серых, сизых, ржавых
III	30–65	Песок темно-серый, сизый с линзами охристого, сырой
IV	65–80	Песок тонкий иловатый с гнездами ожелезнения Вскипание от HCl по всему разрезу
<b>Т. 15. Солонец-солончак луговой</b>		
A 1	0–8	Суглинок тяжелый буровато-серый, мелкоореховатый, влажный
A1B1	8–18	Суглинок тяжелый серовато-бурый, с затеками темного, влажный
B2C1	18–45	Суглинок тяжелый коричнево-бурый, с затеками на весь слой
C 2	45–60	Суглинок тяжелый опесчанившийся, коричнево-бурый, влажный
C 3	60–150	Суглинок тяжелый охристо-желтый, мелкоореховатый, сырой Вскипание от HCl по всему разрезу
<b>Т. 16. Дюнно-озерная солончаково-солонцеватая почва</b>		
I	0–10	Песок мелкий, бесструктурный, рыхлый, слабо влажный
II	10–30	Супесь бурая, рыхлая, мелкокомковатая, с корнями трав
III	30–90	Супесь бурая с охристыми потеками, сырья, с 85 см мокрая Вскипание от HCl по всему разрезу
<b>Т. 5. Солончак луговой супесчаный</b>		
I	0–10	Суглинок легкий опесчанившийся сизовато-серый, бесструктурный
II	10–90	Суглинок тяжелый пестроокрашенный, вязкий, сырой Вскипание от HCl по всему разрезу
<b>Т. 4. Дефляционно-озерная солончаково-солонцеватая почва</b>		
AдA1	0–5	Песок тонкий серый, рыхлый, с обилием корней трав, влажный
A1B1	5–15	Песок тонкий белесоватый, слоистый, рыхлый, влажный
B1C1	15–25	Суглинок средний серовато-бурый, оглеен по вертикальным порам, мелкокомковатый, влажный, мягкотекущий
C 2	25–90	Суглинок тяжелый бурый, слабо уплотнен, комковатый, вязкий Вскипание от HCl по всему разрезу
<b>Т. 2. Пригривно-террасная дефляционно-озерная солончаково-солонцевато-осололеделая почва</b>		
AдA1	0–10	Песок тонкий серый, рыхлый, с обилием корней, свежий
E	10–13	Песок тонкий серовато-желтый, рыхлый, бесструктурный
B C	13–70	Суглинок средний охристо-бурый, слабо оглеен вокруг корней
C	70–200	Суглинок средний бурый, однородный, сырой
<b>Т. 1. Темно-серая осололеделая поверхностно слабозасоленная почва</b>		
AдA1	0–10	Суглинок легкий темно-серый, не карбонатный
A1E	10–25	Суглинок легкий светло-серый, с белесыми пятнами кремнистой присыпки, орехово-комковатый, сухой, не карбонатный

1	2	3
B1	25–40	Суглинок средний бурый, ореховатой структуры, с заклинками серого, сухой, не вскипает
B2	40–75	Суглинок средний коричнево-бурый, плотный, со столбчато-призматической структурой, с затеками верхнего, не вскипает
Cк	75–100	Суглинок легкий буровато-желтый, с пятнами мучнистых карбонатов, призмовидной структуры, бурно вскипает от HCl
C2	100–130	Супесь желтая, мелкоореховатая, с потеками мучнистых карбонатов, плотная, сухая, бурно вскипает от HCl
C3	130–210	Супесь светло-бурая, горизонтально-слоистая, свежая, вскипает от HCl
Д	210–320	Песок тонкий светло-буро-желтый, горизонтально-слоистый, непрочно плитчатый, влажный, вскипает от HCl
<b>Т. 23. Солодь луговая солончаковая</b>		
АдA1	0–20	Суглинок тяжелый черный, с обилием корней
B1	20–25	Суглинок тяжелый черный, с горелыми угольками, со столбчатой отдельностью, кротовинами, вскипает от HCl
E	25–35	Песок тонкий белесый, слабоуплотнен, с клиньями вниз до 5 см
B1	35–160	Клины бурого суглинка чередуются с охристым, структура зернисто-ореховатая, горизонт плотный, с глубиной преобладает светлый суглинок, влажный, мягкотличный, вскипает от HCl
<b>Т. 22. Солончак-солонец луговой</b>		
A1B	0–25	Песок тонкий серый, слоистый, рыхлый, влажный, обожренный
Апог	25–35	Суглинок тяжелый черный, зернисто-мелкокомковатый, уплотненный, влажный, вскипает от HCl
Всол	35–50	Суглинок тяжелый серо-бурый, со столбчатой отдельностью, с пятнами и потеками ожелезнения, вскипает от HCl
B2	50–70	Суглинок тяжелый неоднородный по цвету: с чередованием темно-бурых, палево-желтых, охристых заклинков, вскипает
B3C	70–100	Суглинок тяжелый с преобладанием палево-желтых и охристых тонов, мокрый, вскипает от HCl
<b>Т. 19. Солончак луговой на погребенном солонце среднем</b>		
I	0–62	Переслаивание песков светло-серых, сизых, охристых, влажных
A1	62–75	Суглинок тяжелый темно-серый, икрянисто-комковатый, влажный, с пятнами ожелезнения, со столбчатой отдельностью
B1	75–115	Суглинок тяжелый темно-бурый, с заклинками темно-серого, мелкоореховато-столбчатый, с сизыми пятнами оглеения, мокрый Вскипание от HCl по всему разрезу
<b>Т. 20. Солончак-солонец луговой</b>		
A1	0–18	Суглинок тяжелый черный, зернисто-мелкоореховатый, плотный, свежий, с затеками вниз до 60 см, от HCl не вскипает
B1	18–30	Суглинок тяжелый, серо-бурый, столбчатый, очень плотный, от HCl не вскипает
B2	30–55	Суглинок тяжелый бурый, зернисто-мелкокомковатый, плотный, бурно вскипает от HCl
B3C	55–80	Суглинок тяжелый желтовато-коричневый с заклинками бурого, зернисто-ореховатый, очень плотный, влажный, вскипает от HCl
<b>Т. 21. Лугово-черноземная глубокосолончаковая почва</b>		
АдA1	0–25	Суглинок средний темно-серый, комковатый, дернина до 6 см, не вскипает
A1B1	25–40	Суглинок средний темно-серый с заклинками серо-бурового, ореховато-комковатый, со слабым проявлением столбчатости, не вскипает
B2	40–60	Суглинок средний светло-бурый, с заклинками вышележащего, комковато-ореховатый, плотный, свежий, не вскипает
B3C	60–85	Суглинок средний светло-бурый, влажный, тугопластичный, без заклинков, не вскипает от HCl
Cк	85–100	Суглинок средний, более светлый, с карбонатной пропиткой

- современное дюнообразование;
- дефляция почвогрунтов;
- хорошо развитая комплексность микрорельефа;
- слабая естественная дренированность;
- антропогенный фактор – выглубление Юдинского плеса из бассейна оз. Чаны.

Через уникальное по своему характеру «аква-суходольное» почвообразование следует изучать галогеохимические процессы, поскольку оно является не только “зеркалом” зональных закономерностей, но и фиксатором фаз и циклов палеогеографических условий: ландшафтов Причановской равнины, климата, водно-солевого режима территории, рельефообразующих факторов, выраженных в литолого-почвенных профилях.

На основании охарактеризованных выше почвенных разрезов типичной поликатены нами установлена весьма важная особенность почвообразования на быстро обсыхающей территории Юдинского плеса оз. Чаны. Почвообразование здесь идет по дерново-луговой стадии развития с циклической фазовой динамикой почвообразовательных процессов, после локальных периодических обсыханий – обводнений, а не по общепринятой болотной, как у Н. В. Мирошниченко [1], и широко распространенной в регионе в целом.

Второй особенностью рассматриваемого почвообразования является усложнение структуры почвенного покрова наличием гривного рельефа древнего (гривные останцы) и современного (дюнообразование) формирования. Как отмечает Д. И. Абрамович [6], гривный рельеф выражен и на озере в виде многочисленных островов. Эти формы прослеживаются и под водой, что свидетельствует о сравнительно молодом возрасте оз. Чаны. Генетическая связь гривного рельефа с осадконакоплением, а в фазы обсыхания оз. Чаны – с процессами дефляции, эоловой аккумуляции в прошлом, детально рассмотрена И. А. Волковым [7]. Она характерна и для современного гривообразования на обсыхающей территории Юдинского плеса, при котором на пульсирующее-угасающее осадконакопление акватории плеса накладывается дюнообразование.

В структуре почвенного покрова на бывшем Юдинском плесе закономерно формируются дюны прирусловой, пригривно-тер-

расной поймы и проявляется современное осадконакопление в верхних горизонтах почвенных профилей. В настоящее время визуально прослеживаются все стадии дюнообразования от микробугров – начальной ветровой аккумуляции до хорошо сформированных гривообразных дюн, застраивающих тростником. Еще В. В. Берников [8] указывал, что нельзя отрицать роль ветра в осложнении рельефа даже во влажное время.

В общую схему гривообразования логично ложится вывод Б. Ф. Петрова [9], что водные потоки (вероятно, в ледниковую эпоху) направлялись с СВ на ЮЗ по основному уклону территории и по выходу на Кулундинско-Барабинскую равнину создавали характерные гривы, доказывающие озерно-дельтовое их происхождение.

Познавая прошлое и настоящее оз. Чаны, необходимо отметить, что процессы осадконакопления (эоловые, дефляционные, озерно-аллювиальные и рельефообразование) идут одновременно с процессами почвообразования, на что указывал В. М. Фридланд [10], а общее распределение почвенного покрова Барабы очень выпукло отражает ход исторических событий, отделенных от нас значительным промежутком времени [9].

Сложная мозаичная структура почвенно-покрова бывшего Юдинского плеса оз. Чаны отражает степень его ритмично-пульсируемого обсыхания. В структуре почвенного покрова, по обоснованному замечанию В. М. Фридланда [10], можно различать консервативные элементы, соответствующие современным факторам ее формирования, реликтовые элементы, связанные с факторами прошлого, уже не действующими, и прогрессивные элементы, возникающие в настоящее время и отражающие тенденции развития почв.

Об озерно-пойменном почвообразовании в научно-исследовательской литературе имеются лишь очень скромные упоминания. Даже у классиков, таких как В. Р. Вильямс [11] и В. И. Шраг [12], исследования акцентированы на повсеместно и широко развитое почвообразование пойм рек. Редким исключением являются материалы Барабинской экспедиции [9, 13]. На сегодня озерно-пойменное почвообразование – актуальная проблема диалога “человек – природа”, особенно в За-

падно-Сибирском регионе, где имеется большое количество озер разного генезиса и увеличивается степень аридизации [13, 14]. Она отражена и во многовековых циклах, отмеченных А. В. Шнитниковым [2].

Юдинский плес окружен несколькими концентрическими береговыми валами – старыми, частично выровненными и задернованными, а также молодыми, растущими и открытыми, подверженными дефляции поверхностями, что свидетельствует о сокращении водных пространств и усыхании водоема. В центральной части озерной котловины поликатеной пересечена грива-останец, бывшая в недалеком прошлом островом Перевальским. Она является настоящим маркером палеогеографических условий оз. Чаны.

Почвенная “память” ландшафта, как показывают наши исследования, является и памятью обводненности и обсыхания территории – индикатором пульсаций обводненности оз. Чаны, в частности Юдинского плеса. Наглядный этому пример – наличие развитого солончака на погребенном солонце с хорошо развитым профилем (рис. 2, т. 19). С данной многофазной почвой сопряжен расположенный выше (в сторону гривы) солончак-солонец (т. 22), где солонец, аналогичный погребенному в т. 19, находится в активной стадии почвообразования. С последним сопряжена еще выше расположенная солодь лу-

говая (т. 23), поверхностью слабозасоленная, но с четко выраженным развитым белым осоложденным горизонтом. Этот парагенетический ряд почв хорошо отражает сложную динамику почвообразования при чередовании стадий усыхания–обводнения с преобладанием по продолжительности аридных фаз. Исходя из диагностики почвенных профилей и структуры почвенного покрова, аридизация бассейна оз. Чаны усиливается в вековых циклах, а обводненность, импульсивно проявляясь, постепенно угасает.

В процессе аридизации территории почвенный покров выявляет последовательный возрастной ряд обсохших участков. На самых молодых прибрежных гривах в почвах проявляется остаточная солонцеватость, на склоне гривы–“останца” сформировалась луговая (дерновая) солодь (т. 23), а на более древней приводораздельной части гривы – темно-серая осоложденная почва (т. 1). Почвенный покров вне озерной котловины представлен зональными почвами – лугово-черноземными (т. 21) и черноземами выщелоченными.

В обсохших понижениях озерной котловины сформировались молодые и древние солончаково-солонцовье комплексы почв разной степени выраженности (т. 13–15, 19, 20).

На высокой древней пойме, вышедшей из под современного влияния обводненности, почвообразование носит остеиненный характер с формированием высокогумусных солонцов, которые используются как высокопродуктивные сенокосы (участок между т. 19, 20).

Сравнительный анализ структуры почвенного покрова в трансект-катене показывает эволюционную связь пульсирующего застойно-промывного режима почв и ярко выраженного процесса осолождения с разной степенью проявления, маркирующего пульсирующую аридизацию и обводненность в среде палеогеографических и современных условий.

Особого внимания заслуживают темно-серые осоложденные почвы. Наличие серых осоложденных почв в структуре почвенного покрова Западной Сибири – объективная реальность. Петров [9], Горшенин [15], Ковалев [16] неоднократно обращались к этой проблеме. Генезис серых осоложденных почв и их положение в общей систематике почв до сих

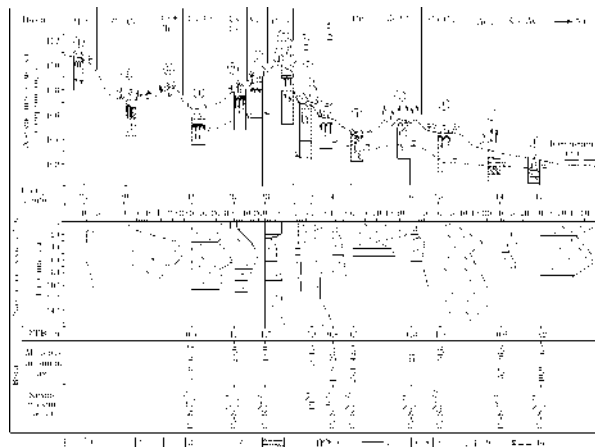


Рис. 2. Трансформация горизонтов почвенного профиля, отражающая многофазность процессов аридизации. Составили М. Т. Устинов, Л. А. Магаева.

1 – песок, 2 – суглинок, 3 – гумусированный суглинок, 4 – дернина, 5 – столбчатая отдельность, 6 – серые охристые потяжини, 7 – слоистость.

пор остаются неясными. Как отмечено Р. В. Ковалевым [16], в Барабинской низменности се-рые осолоделые почвы сплошь распаханы и наиболее распространены в районах Причановской грибно-лощинной равнины, где обыч-но приурочены к хорошо выраженным гри-вам и значительно реже встречаются на слабо приподнятых плоских равнинных участках.

Одной из особенностей бывшего острова, а ныне грибы-“останца” является то, что в привершинной части сформировалась темно-серая почва, сохранившаяся в естественном состоянии, не подвергнутая распашке, вследствие чего ее можно считать уникальным эталоном темно-серых осолоделых почв, находящихся в стадии очертанования. Визуально здесь представлен осиново-березовый колок с густым двухъярусным подлеском из черемухи, боярышника и шиповника. Характерные особенности морфологии исследуемой темно-серой осолоделой почвы (т. 1, см. рис. 1) приводим ниже:

- Ад 0–10 см – темно-серый с буроватым оттенком легкий суглинок, непрочно комковатый, слабовлажный, густо пронизан корнями растений, создающих рыхлую дернину. Переход ясный по цвету и сложению;
- А1Е 10–25 см – светло-серый с кремнеземистой присыпкой легкий суглинок, ореховато-комковатый, уплотненный, сухой. Переход вниз ясный, неравномерный по цвету;
- В1 25–40 см – бурый с заклинками серого средний суглинок, сухой, уплотненный, ореховатый, сухой. Переход в нижний горизонт постепенный, неравномерный по окраске;
- В2 40–75 см – коричнево-бурый средний суглинок, столбчато-призмовидный, очень плотный, сухой. Переход в горизонт Ск резкий и неровный по цвету и вскипанию;
- Ск 75–100 см – буровато-желтый легкий суглинок, с гнездами белесых мучнистых карбонатов, с блестками гидрослюд, призмовидный, очень плотный, слабовлажный.

В отличие от черноземов осолоделых, темно-серые осолоделые почвы имеют более дифференцированный профиль с ясно выраженным горизонтом А1Е, с укороченным и резко переходящим гумусовым горизонтом, с мощной дерниной, образованной травянисто-древесной растительностью.

Таким образом, в настоящее время структура почвенного покрова бывшего озерного

дна отражает пойменно-аккумулятивный ре-жим при возрастании степени зонального климатического влияния. 60-летний цикл ари-дизации территории способствовал яркому проявлению засоления, осолонцевания и осо-лодения почв, формирующихся на ритмически неоднородном субстрате [16–20]. Природное тело почв является носителем и информатором палеогеографических условий жизни оз. Чаны.

## ОБСУЖДЕНИЕ РЕЗУЛЬТАТОВ

### *Почвенный покров и грунтовые воды*

На изученной почвенно-галогеохимической трансект-катене (поликатене, см. рис. 1) поч-вы существенно различаются по возрасту формирования. Общепринятое мнение, что при обсыхании озерных котловин почвооб-разование проходит через болотную стадию, исследованиями на территории бывшего Юдин-ского плеса оз. Чаны не подтверждается. Нами прослежена эволюция пойменных почв, об-разующихся при усыхании соленных озер. Уста-новлено, что при быстром обсыхании засо-ленных озерных котловин почвообразование идет не по болотной, а по дерново-луговой стадии. Определяющим фактором эволюции почв в первую очередь является глубина за-легания засоленных грунтовых вод. Это на-глядно видно на нашей поликатене (см. рис. 1). Наименьшая глубина залегания уровня грун-товых вод (УГВ) в точке 13 у остаточного водоема – 0,2 м. Минерализация грунтовой воды варьирует от 40 до 54,8 г/дм<sup>3</sup>, хими-ческий состав сульфатно-хлоридный. Почва, представляющая озерные солончаки на аб-солютной отметке 103 м, – самая молодая на поликатене. Весь разрез очень сильно за-солен (сумма солей 0,8 – 1,5 %, см. рис. 1). Легкий опесченный состав верхней части разреза способствует его быстрому промы-ву дождевыми и снеготальными водами, осо-бенно по морозобойным трещинам. Расти-тельность очень разреженная, представлена солянкой, растущей в основном по морозо-бойным трещинам.

За полосой солончака расположена пляж-ная зона с УГВ от 0,5 до 1,0 м. Поверхность сложена озерно-пойменными слоистыми су-песчаными осадками, почти не имеет расти-

тельности (т. 14). На ней наблюдается песчаная волновая рябь и формируются песчаные дюны. Разрез засолен меньше, чем в предыдущей точке, но тип засоления также сульфатно-хлоридный.

Следующая поверхность на нашей поликатене – бывший остров, или отмель, представляет древнюю размытую гризу. На ней сформирован солонец-солончак луговой (т. 15). Сумма солей в верхнем горизонте варьирует в пределах 0,2–0,4 %, в нижних горизонтах – 0,6–1,2 %. В разрезе просматриваются столбчатые отдельности и темные потяжки. Почва более древняя, чем в т. 13 и 14. Растительность злаково-солянково-полынная. УГВ снижается до 1,3 м, но при сульфатно-хлоридном составе грунтовых вод и минерализации выше 30 г/дм<sup>3</sup> весь разрез сильно засолен.

Вдоль осередка по границе с ложбиной протягивается полоса со зрелыми дюнами, густо заросшими тростником. Состав отложений песчаный и супесчаный, УГВ – 0,8–0,9 м. Химический состав тот же, но минерализация снижается до 24,1 г/дм<sup>3</sup>, что, вероятно, связано с улучшением водообмена. Здесь также отчетливо проявляется солонцовый процесс, видны головки столбчатых отдельностей. По трещинам и корневым ходам тянутся оглеенные и охристые потяжки. Формируется дюнно-озерная солончаково-солонцеватая песчаная почва (т. 16). Засоление слабой и средней степени (0,16–0,45 %), исключая поверхностный слой в 10 см.

В ложбине (т. 5) с разреженной солянкой почва – молодой солончак луговой супесчаный с сильно засоленным почвенным профилем при УГВ 0,7 м, минерализация грунтовых вод резко возрастает от 29,1 до 42,5 г/дм<sup>3</sup>, что, очевидно, связано с застойным режимом вод, при неизменном химическом составе. Засоление верхних горизонтов 1–1,8, нижних – 0,5–1,0 %.

На низкой озерной террасе (т. 4) с разнотравно-полынной ассоциацией почвенный профиль с поверхности не засолен, при УГВ 0,9 м и минерализации грунтовых вод 10,0–23,5 г/дм<sup>3</sup>, поскольку явно проявляются процессы выдувания тонких частиц, а также солей и накопление песчаных фракций. Формируется дефляционно-озерная солончаково-солонцеватая почва. Почвенный профиль сло-

истый, горизонты не вполне сформированы. Четко видны вертикальные потяжки оглеения в нижней части разреза, в верхней песчаной сохраняется слоистость. Засоление резко варьирует в сезонной динамике: для верхних горизонтов от 0,07–0,15 до 0,16–0,3 %, для нижних от 0,25–0,4 до 0,55 %.

На высокой озерной террасе вдоль гризы под разнотравно-злаковым лугом с кустарниками ивы и отдельными березами в т. 2 вскрыта пригривно-террасная дефляционно-озерная солончаково-солонцевато-осололедяная почва. Почвенный профиль слабо засолен (0,15–0,25 %) с поверхности (в интервале 0–10 см) и на глубине 140–150 см, при глубине УГВ 1,7–1,9 м. Весьма характерно, что грунтовые воды здесь имеют низкую минерализацию (1,3–1,6 г/дм<sup>3</sup>) и содовый химический состав. Соответственно и засоление почвенного профиля содовое и сульфатно-содовое (см. рис. 1). Горизонты почвенного профиля слоистые, нечетко выражены, что свидетельствует о молодости почвы и продолжающихся дефляционных и намывных процессах.

Таким образом, все почвы, расположенные к югу от гризы-останца, молодые. Время их формирования 20–30 лет.

На гризе (т. 1) под осиново-березовым колком с густым двухъярусным подлеском почва темно-серая осололедяная. УГВ ниже 4 м. Интересная особенность – слабое поверхностное засоление (0,21 %) в интервале 0–10 см, что, очевидно, связано с эоловым привносом солей из обсохшей озерной котловины.

На пологом склоне гризы северной экспозиции нами вскрыт ряд почв: в верхней части склона – сололь луговая солончаковая (т. 23), в средней – солончак-солонец луговой (т. 22), в нижней – солончак, образовавшийся на погребенном солонце среднем (т. 19). Эти три почвы генетически связаны и характеризуют многофазность процессов аридизации (см. рис. 2). В т. 19, расположенной в межгризной ложбине, солончак луговой сформирован на солонце среднем. Хорошо сохранились генетические горизонты солонца A1 и B1, перекрытые песком тонким плитчато-слоистым, рыхлым мощностью 62 см. При УГВ 0,9 м весь почвенный профиль очень сильно засолен (1–1,6 %). Минерализация грунтовой воды 53,8–66,7 г/дм<sup>3</sup>, химический состав сульфатно-хлоридный. В т. 22 солончак-солонец функциони-

рут при глубине залегания УГВ около 1 м. Минерализация грунтовых вод уменьшается до 26,6 г/дм<sup>3</sup>, хотя химический состав остается таким же. Горизонт В соответствует аналогичному горизонту погребенного солонца в т. 19, но частично смыт, а горизонт А смыт полностью. Они замещены слоем мелкого слоистого песка мощностью 25 см.

На этих двух почвах видны фазы их развития: аридизация и формирование солонцов, затем обводнение и накопление песчаных отложений, снова аридизация и образование современных почв.

В т. 23 солодь луговая солончаковая сформирована на солонце (см. рис. 2). При УГВ 1,5 м почвенный профиль ниже и выше осоложенного горизонта засолен. Минерализация грунтовых вод уменьшается до 13 г/дм<sup>3</sup>. История "жизни" почвы начинается с формирования солонца в эпоху аридизации, последующее увлажнение приводит к промыву верхней части солонца, образованию осоложенного и дернового горизонтов. Современная аридизация ведет к засолению всего почвенного профиля.

Далее на север по поликатене между двумя разноуровневыми ложбинами находятся низкие гривоподобные повышения с разнотравно-злаковыми лугами на луговых солонцеватых почвах в комплексе с солонцами глубокими. Гривные формы рельефа значительно усложняют структуру почвенного покрова. Севернее их расположено обширное понижение, еще в 40-х гг. бывшее дном озера. Сейчас оно занято сенокосами. На поверхности с абс. отм. 107 м в т. 20 (см. рис. 1) вскрыты солончак-солонец луговой. Почвенный профиль хорошо дифференцирован на горизонты, что свидетельствует о высокой скорости почвообразовательных процессов. Всего около 60 лет потребовалось, чтобы образовался хорошо выраженный гумусовый горизонт мощностью 45–50 см. Солонцовый горизонт имеет слабую и среднюю степень засоления (0,4–0,45 %). Ниже его сумма солей составляет 1–1,6 %. Поверхность этой части бывшей акватории Юдинского плеса представляет сложную мелкоконтурно-мозаичную картину распространения различных солонцов, пятен солончаков, отраженную в растительном покрове.

Северная окраина озерной котловины – плоская пологонаклонная поверхность с раз-

нотравно-злаковым лугом на абс. отм. 111,0 м. Поверхность занимает самое высокое положение на поликатене и после большого разлива в атлантическую fazu голоцен, когда уровень поднимался до 112–113 м, она больше не заливалась [21]. На этой поверхности лугово-черноземная глубокосолончаковая почва (т. 21) – самая древняя из исследованных на поликатене. УГВ здесь имеет пульсирующий характер и в настоящее время располагается на глубине более 3 м.

Таким образом, отчленение Юдинского плеса от основной акватории оз. Чаны ускорило процесс естественной аридизации и позволило исследовать разновозрастной ряд почв. На абсолютных отметках 103 – 104,5 м недавно обсохшей акватории формируются молодые солончаки (озерные) и озерные пойменные слоистые почвы (т. 13, 14, 5). Их возраст не более 20 лет. На бывших осередках, отмелях, в краевых частях озерной поймы на абс. отм. 105–106 м на песчано-супесчаном субстрате образовались солончаково-солонцеватые почвы, подверженные интенсивной эоловой переработке (т. 4, 16), и солонцы-солончаки луговые на суглинистых грунтах (т. 15). Их возраст до 30–40 лет. На озерных террасах, краевых частях котловины бывшего Юдинского плеса на абс. отм. 107–108 м располагаются в разной степени солончаково-солонцово-осоложенные луговые почвы в комплексе с солонцами и солончаками (т. 19, 20, 22). Они, как правило, достаточно хорошо сформированы, их возраст 50–60 лет. На абс. отм. 109 м обследована солодь луговая, образовавшаяся из солонца (т. 23), на отм. 110 м – темно-серая осоложенная почва (т. 1) и на отм. 111 м – лугово-черноземная глубокосолончаковая почва (т. 21). Их возраст значительно более древний (возможно, после оптимума голоцен).

### *Гидрохимическая динамика грунтовых, поверхностных вод и характеристика галогеосистем*

Грунтовые воды на поликатене вскрыты в большинстве разрезов и образуют единую поверхность, которая в слаженном виде повторяет дневную. Их химический состав очень однороден (сульфатно-хлоридный магниево-натриевый), несмотря на изменение минера-

Таблица 3

Химический состав поверхностных и грунтовых вод по профилю обсохшего Юдинского плеса, г/дм<sup>3</sup>

Точка	Глубина, м	pH	CO <sub>3</sub>	HCO <sub>3</sub>	Cl	SO <sub>4</sub>	Ca	Mg	Na+K	Сумма
<i>Грунтовая вода</i>										
T. 2	2,2	8,12	0,12	0,98	0,03	0,05	0,02	0,03	0,38	1,60
	1,9	7,1	Нет	0,98	0,02	0,09	0,03	0,03	0,27	1,42
T. 4	0,87	7,45	0,07	0,93	3,97	2,65	0,20	0,48	2,56	10,86
	0,80	6,8	Нет	0,91	10,44	4,89	1,20	2,12	3,92	23,48
T. 5	0,70	7,35	0,10	0,69	18,09	10,05	0,84	3,44	9,26	42,47
	0,70	7,0	Нет	0,82	17,25	9,03	0,90	2,16	10,08	40,24
T. 16	0,85	7,88	0,18	1,18	8,06	5,98	0,18	1,69	5,24	22,49
	0,80	7,34	Нет	1,40	8,88	5,83	0,14	1,55	6,35	24,15
T. 15	0,87	7,62	0,05	0,69	15,89	8,16	0,31	2,79	9,03	36,93
	1,3	7,35	Нет	0,87	16,26	6,41	0,32	1,90	9,02	34,78
T. 14	0,65	7,91	0,15	0,85	14,64	7,36	0,10	4,13	8,45	35,69
	0,65	7,63	Нет	1,18	15,93	7,97	0,10	1,65	9,78	36,61
T. 13	0,4	7,52	0,07	1,07	21,30	14,08	0,46	2,65	15,13	54,77
	0,2	6,9	Нет	1,01	18,82	7,68	0,60	2,75	10,09	40,95
T. 23	1,50	7,49	Нет	0,91	4,18	3,78	0,25	0,69	3,18	12,98
T. 22	1,05	7,16	Нет	0,88	10,65	6,85	0,68	1,60	5,97	26,62
T. 19	1,15	7,29	0,11	1,16	33,12	16,28	0,66	4,40	10,95	66,68
	1,00	6,83	Нет	1,32	20,02	15,84	0,63	5,27	10,73	53,81
<i>Поверхностная вода остатков Юдинского плеса</i>										
У берега	9,40	0,36	1,35	3,75	0,39	0,05	0,51	2,14	8,54	
	9,30	0,29	1,17	2,77	0,55	0,01	0,09	2,30	7,18	
40 м от берега	9,75	0,21	0,59	1,14	0,12	0,01	0,12	0,78	2,99	
	9,61	0,24	0,86	1,80	0,21	0,02	0,23	1,23	4,59	
330 м от берега	9,62	0,20	0,49	1,06	0,13	0,02	0,11	0,78	2,79	
	9,67	0,19	0,69	1,62	0,23	0,01	0,20	1,03	3,97	
<i>Мелкое озеро (после дождя)</i>										
У берега	7,50	0,02	0,27	0,09	0,12	0,02	0,04	0,22	0,80	
Центр	7,68	0,02	0,28	0,74	0,16	0,16	0,10	0,45	1,92	

Примечание. В числителе – отбор в июне 2002 г., в знаменателе – в августе 2002 г.

лизации в основном от 10,9 до 66,7 г/дм<sup>3</sup>. Значение pH близко к нейтральному – 6,8–7,3. Однако отбор проб в июне и августе 2002 г. показал высокую динамичность минерализации грунтовых вод в течение лета. В точках со слабым засолением почвенно-грунтового профиля (т. 4, 16, 14) минерализация увеличилась в результате сброса солей в грунтовые воды, причем в т. 4 более чем в 2 раза. На участках с сильным постоянным засолением (т. 5, 13, 15, 19) она уменьшилась, наиболее заметно в т. 13 (табл. 3). Это, вероятно, связано со скоплением солей в процессе испарения на поверхности почв и с последующим их выносом дождевыми водами в понижения, поскольку после июньского отбора прошли обильные дожди.

На высокой террасе в т. 2 вскрыты воды второго яруса, залегающие на глубине 1,9–2,1 м. Они имеют содовый состав, однако pH близко к нейтральному (7,1), что, возможно, связано с подкислением органическими кислотами. Верхний ярус в этой точке слабово-дообильный и проявился только по мягко-пластичной консистенции грунтов в интервале 70–90 см. Изменение минерализации и химического состава грунтовых вод по геохимическому сопряжению в южной части поликатены от озерной террасы у грави в т. 2 до остаточного водоема в т. 13 видны из рис. 1 и табл. 3. В т. 2 они имеют содовый состав и минерализацию в течение лета 1,3–1,6 г/дм<sup>3</sup>, на остальной части – сульфатно-хлоридный магниево-натриевый состав в основном под-

типа IIIа, что свидетельствует о достаточно высокой степени метаморфизации вод.

Изучена также пространственная изменчивость минерализации и химического состава остаточных поверхностных озерных вод Юдинского плеса и озер прилегающих к нему территорий. Общая тенденция – уменьшение минерализации вод в направлении от прибрежной части озер к их центру, несмотря на значительные различия по химическому составу и величине минерализации, за исключением малых озер. При этом в динамике от июня к августу в прибрежной части озер минерализация уменьшилась, а на удалении от берега увеличилась, хотя общее соотношение осталось прежним (см. табл. 3). Особенность вод остаточного водоема Юдинского плеса – высокое значение pH (9,3–9,75).

На плоской выровненной поверхности бывшего дна Юдинского плеса по эпюрам засоления (см. рис. 1) обособляются все классы галогеохимических систем, выделенные нами ранее [17–20]. Каждый класс галогеосистем характеризуется типовой эпюрой солевого профиля, которая определяет их структуру – пространственное распространение, характер взаимосвязи и динамику. Солевые профили в точках 1 и 21 представляют водораздельный класс, в котором весь разрез не засолен, УГВ глубже 3,0 м, в зоне аэрации нет литологического барьера с худшими фильтрационными свойствами [21].

Эпюра засоления т. 2 показательна для склонового класса, в котором основной слой скопления солей находится значительно ниже гумусового горизонта (1,5 м) и с учетом амплитуды колебания УГВ никогда его не достигнет.

Западинный класс представлен солевыми профилями точек 5, 13, 15, 19 и 20. Все почвы и грунты сильно засолены на всю их вскрытую мощность, обнаруживается тесная связь с высокоминерализованными грунтовыми водами, которые залегают в пределах зоны капиллярного поднятия. Тип засоления в грунтах, как и в водах, сульфатно-хлоридный. Проведенные двух- и трехкратные опробования обнаружили изменение содержания солей только в самом верхнем слое 0–10 см за счет сдува или смыва. Галогеосистемы западинного класса являются конечными солевыми дренами.

Солевые профили точек 4, 14, 16, 22 и 23 характеризуют ложбинный класс галогеосистем. Их профиль засолен значительно меньше, несмотря на высокую минерализацию грунтовых вод и близкое залегание УГВ. Двукратное опробование выявило высокую динамичность распределения солей по разрезу. Связано это с периодическим сбросом солей в грунтовые воды и их оттоком.

Таким образом, эпюры засоления, как функциональные единицы галогеосистем, являются информационными носителями их состояния, маркируют зональные региональные и локальные закономерности ландшафта, тем самым позволяя решать многие методологические проблемы почвоведения.

### **Биомасса микроорганизмов в почвах**

Показатели биомассы и активности микроорганизмов почвы являются важнейшими характеристиками состояния и особенностей функционирования деструкционного звена подземного блока любой наземной экосистемы. Это объясняет большой интерес во всем мире к показателям биомассы и активности почвенного микробоценоза в различных почвах [22].

Большой интерес вызывают проблемы формирования запасов биомассы микроорганизмов в процессе почвообразования, но до настоящего времени отсутствуют исследования, связанные с их изучением в обсыхающих поймах соленых озер [23].

Цель настоящего исследования, проведенного в июле 2001 г., состояла в изучении особенностей состояния и функционирования биомассы микроорганизмов в серии разновозрастных почв, сформировавшихся на месте дна усыхающего оз. Чаны (Юдинский плес).

Основные характеристики исследованных экосистем и их геоморфологическое положение приведены в табл. 1 и 2.

Образцы почв отбирали по общепринятой методике [24]. Подготовка образцов для микробиологического анализа включала отбор крупных корней и просеивание образцов через сито с диаметром ячеек 3 мм. В почвенных образцах определялось содержание С<sub>орг</sub> методом Тюрина [25], содержание углерода в биомассе микроорганизмов (С биомассы) – методом фумигации-инкубации [26, 27].

Таблица 4

Влажность в момент отбора образцов и запасы  $C_{opr}$  в исследованных почвах

Номер п/п	Почва	Горизонт	Глубина, см	Влажность почвы, %	$C_{opr}$ , %
1	Темно-серая осоложенная	АдA1	0–10	21,0	6,51
		A1E	10–25	7,4	1,09
		B1	25–40	12,1	0,33
		B2	40–75	10,8	0,19
		B3Cк	75–90	9,2	0,24
2	Солончак-солонец луговой	A1	0–20	25,0	1,56
		B1	20–30	29,9	0,98
		B2	30–55	31,0	0,77
		B3C	55–70	29,5	0,66
3	Луговая песчаная	A1	0–20	5,8	0,32
		BC1	20–45	1,1	0,14
		C2	45–80	2,6	0,15
4	Луговая солончаково-солонцевато-осоложенная	АдA1	0–10	12,7	1,21
		A	10–13	16,1	0,21
		BC	13–70	16,4	0,03
5	Примитивная луговая песчаная	I	0–25	2,3	0,21
		II	25–50	2,3	0,28
		III	50–60	28,9	0,63
		IV	60–70	29,0	0,38
		V	70–80	27,8	0,27
6	Луговая солончаково-солонцеватая	AA1	0–5	7,7	0,49
		A1B1	5–15	14,6	0,18
		B1C1	15–25	21,3	0,15
		C2	25–75	19,1	0,11
7	Озерный солончак	I	0–10	21,1	0,22
		II	10–30	23,8	0,20
8	Молодой озерный солончак	I	0–10	20,3	0,32
		II	10–30	18,5	0,12
9	Озерные иловатые отложения	I	0–3	7,3	0,50
		II	3–15	31,1	0,26
		III	15–30	30,2	0,24
10	Озерные песчаные отложения	I	0–10	9,6	0,05
		II	10–20	12,6	0,13
		III	20–30	16,6	0,15
		IV	30–40	18,6	0,27
		V	40–60	19,5	0,24
		VI	60–80	25,9	0,49

Микробиологическая активность почв в данном исследовании оценивалась при определении нескольких показателей, прямо или косвенно характеризующих активность микробиомассы.

Дыхание почвы оценивалось общепринятым методом по количеству  $CO_2$ , выделившемуся из почвы, инкубированной в течение 2 сут в темноте в плотно закрытом пенициллиновом флаконе при температуре 28 °С и влажности 60 % от полной влагаемости. Величина активной биомассы определялась по выделению  $CO_2$  за 10 ч инкубации

после добавления в почву специфического углеродного субстрата [28].

Вычисляли показатели удельной активности микробиомассы: долю активной биомассы в общей биомассе микроорганизмов и метаболический коэффициент ( $Q$ ) как отношение величины  $C - CO_2$ , выделившегося из почвы за 1 ч, к величине С биомассы микроорганизмов [29].

Все исследованные почвы можно условно разделить на пять групп по возрасту (табл. 4). Наиболее молодыми являются озерные иловатые и песчаные отложения. Для

Таблица 5

Биомасса и активность микроорганизмов и доля С биомассы в C<sub>opr</sub> в профилях исследованных почв

Слой почвы, см	С биомассы, мг/100 г	Доля С биомассы в C <sub>opr</sub>	Дыхание, мкг С-CO <sub>2</sub> /г · сут	Активная биомасса, мг/100 г	Активная биомасса, %	Q, × 10 <sup>2</sup> /ч
<i>Темно-серая осолоедальная</i>						
0–10	193	3,0	111,3	38	20	0,24
10–25	21	1,9	3,9	3	14	0,08
25–40	14	4,2	1,7	2	14	0,05
40–75	5	2,6	—	2	40	—
75–90	2	0,8	0,3	2	100	0,06
<i>Солончак-солонец</i>						
0–20	43	2,8	4,8	8	19	0,05
20–30	10	1,0	0,8	5	50	0,03
30–55	4	0,5	0,7	4	100	0,07
55–70	1	0,2	0,6	4	—	0,25
<i>Луговая песчаная</i>						
0–20	23	7,2	4,3	11	48	0,08
20–45	3	1,4	0,4	3	100	0,06
45–80	5	3,3	0,4	3	60	0,03
<i>Луговая солончаково-солонцевато-осолоедальная</i>						
0–10	55	4,55	8,4	14	25	0,06
10–13	4	1,90	1,0	4	100	0,10
13–70	1	3,33	0,5	2	—	0,21
<i>Примитивная луговая песчаная</i>						
0–25	1	0,3	0	1	100	—
25–50	1	0,3	0,1	2	—	0,04
50–60	5	0,8	0,6	1	20	0,05
60–70	5	1,3	0,3	1	20	0,03
70–80	4	1,5	0,3	2	50	0,03
<i>Луговая солончаково-солонцеватая</i>						
0–5	9	1,84	8,0	9	100	0,37
5–15	8	4,44	1,0	7	88	0,05
15–25	10	6,67	1,4	3	30	0,06
25–75	2	0,36	0,5	2	100	0,10
<i>Озерный солончак</i>						
0–10	5	2,3	0,7	3	55	0,06
10–30	3	1,5	0,4	5	—	0,06
<i>Молодой озерный солончак</i>						
0–10	2	0,6	0	5	—	—
10–30	2	1,7	0	4	—	—
<i>Озерные иловатые отложения</i>						
0–3	2	0,4	0,1	1	50	0,02
3–15	2	0,8	0,1	2	100	0,02
15–30	3	1,3	0,4	4	—	0,06
<i>Озерные песчаные отложения</i>						
0–10	2	4	0,5	2	100	0,10
10–20	1	0,8	0,3	3	—	0,13
20–30	1	0,7	0,2	1	100	0,08
30–40	3	1,1	0,5	1	33	0,07
40–60	4	1,7	1,6	2	50	0,17
60–80	7	1,4	2,3	4	57	0,14

них характерны отсутствие растительности, низкие значения  $C_{opr}$  и высокая влажность, связанная с высоким УГВ. Они в разной степени засолены.

Вторая группа почв – озерные солончаки. Здесь уже появляется растительность, запасы  $C_{opr}$  невысоки, но влажность почвы и определяющий ее уровень залегания грунтовых вод остаются высокими. Степень засоления часто превышает 1–2 %.

Третья группа – луговые почвы. На этой стадии эволюции появляется обильная растительность, снижается уровень грунтовых вод и благообеспеченность верхних горизонтов, в некоторых случаях увеличивается запас  $C_{opr}$ .

Солончаково-солонцеватые почвы (четвертая группа), формирующиеся на относительно давно обсохшей территории Юдинского плеса (около 60 лет), имеют повышенное значение  $C_{opr}$ . Еще больше его содержание в темно-серой осолоделой почве – наиболее древней (пятая группа).

Минимальные значения С биомассы микроорганизмов отмечены в иловатых и песчаных озерных отложениях. Здесь также очень низкие дыхательная активность и величина активной биомассы (табл. 5). Но удельная активность относительно небольшой биомассы (доля активной биомассы в общем запасе) очень высокая.

Молодой озерный солончак близок по всем микробиологическим показателям к озерным отложениям. В профилях озерного солончака и солончака-солонца увеличиваются концентрации С биомассы, дыхательной активности, в большинстве случаев и активной биомассы по сравнению с озерными отложениями. Удельная активность биомассы в солончаках весьма высока. Отмечено увеличение не только доли активной биомассы, но и метаболического коэффициента ( $Q$ ) в солончаке-солонце и луговой солончаково-солонцеватой почве (см. табл. 5).

Примитивные луговые песчаные почвы, сформировавшиеся относительно недавно под зарослями тростника, близки по всем микробиологическим параметрам к озерным отложениям. В прочих луговых почвах происходит рост концентрации С биомассы, величины активной биомассы и доли С биомассы в  $C_{opr}$ . В солончаке-солонце в верхних гори-

зонах не отмечено значительных изменений всех изученных микробиологических показателей по сравнению со сформировавшимися луговыми почвами, но происходит снижение доли С биомассы в  $C_{opr}$  и удельной активности микробиомассы вниз по профилю (см. табл. 5).

В темно-серой осолоделой почве в верхнем 0–25 см слое величина общей биомассы микроорганизмов, дыхательной активности и активной биомассы значительно выше, чем в остальных почвах. По показателям доли С биомассы в  $C_{opr}$  и доли активной биомассы в ее общем запасе различия незначительные (см. табл. 5).

Таким образом, для молодых почв, формирующихся в обсыхающей котловине Юдинского плеса оз. Чаны, характерны низкие скорости формирования запасов биомассы почвенных микроорганизмов и низкий уровень функциональной активности этой биомассы по сравнению с аналогичными почвами, формирующимиися в лесостепной зоне на незасоленных почвообразующих субстратах [23]. Основным фактором, замедляющим процесс накопления запаса С биомассы в этих почвах, является высокая концентрация солей в профилях формирующихся почв [30].

## ЛИТЕРАТУРА

1. Н. В. Мирошниченко, Пульсирующее озеро Чаны, Л., Наука, Ленингр. отд-ние, 1982, 169–179
2. А. В. Шнитников, Труды лаборатории озероведения АН СССР, 1957, т. 5, 5–63.
3. Атлас Новосибирской области, М., Роскартография, 2002.
4. М. Т. Устинов, Сиб. экол. журн., 2001, 8: 3, 285–291.
5. А. А. Крауклис, Проблемы экспериментального ландшафтования, Новосибирск, Наука, Сиб. отд-ние, 1979.
6. Д. И. Абрамович, Воды Кулундинской степи, Новосибирск, Изд-во СО АН СССР, 1960.
7. И. А. Волков, Пульсирующее озеро Чаны, Л., Наука, Ленингр. отд-ние, 1982, 14–25
8. В. Б. Берников, Почвы VII. Запсибмеливодстрой. Бюро по разработке проблемы “Барабы”, Омск, 1933.
9. Б. Ф. Петров, Материалы Барабинской экспедиции. Почвы Барабы, М., АН СССР, Почв. ин-т им. В. В. Докучаева, 1946.
10. В. М. Фридланд, Структура почвенного покрова, М., Мысль, 1984.
11. В. Р. Вильямс, Избр. соч. в 2-х т. Почвоведение. 2, М., Изд-во с.-х. литературы, 1949.

12. В. И. Шраг, Классификация пойменных почв, их мелиорация и сельскохозяйственное использование, М., Росгипроводхоз, 1964.
13. В. В. Берников, З. Шадрина, Материалы Барабинской экспедиции. Очерк бассейна бессточных озер. Почвы. Кн. 2, Новосибирск, 1948.
14. Т. Г. Попова, Растительные богатства Новосибирской области, Новосибирск, Изд-во СО АН СССР, 1961, 73–93.
15. К. П. Горшенин, Почвы южной части Сибири (от Урала до Байкала), М., Изд-во АН СССР, 1955.
16. Почвы Новосибирской области. Под ред. С. Р. Ковалева, Новосибирск, Наука, Сиб. отд-ние, 1966.
17. Л. А. Магаева, И. М. Гаджиев, Т. Н. Елизарова, В. А. Казанцев, Сиб. экол. журн., 1998, **5**: 6, 543–551.
18. В. А. Казанцев, Проблемы педогалогенеза, Новосибирск, Наука, Сиб. пред-тие РАН, 1998.
19. Л. А. Магаева, Мелиорируемая толща почв и пород Приобья, Дис ... канд. биол. наук, Новосибирск, 1998.
20. Л. А. Магаева, Мелиорируемая толща почв и пород Приобья, Новосибирск, Изд-во СО РАН, филиал "Гео", 2000.
21. Л. А. Орлова, Голоцен Барабы: стратиграфия и радиоуглеродная хронология, Новосибирск, Наука, Сиб. отд-ние, 1990.
22. R. L. Tate III, Soil Microbiology, inc., New York, John Wiley and Sons, 1995.
23. А. А. Титлянова и др., Сукцессии и биологический круговорот, Новосибирск, Наука, Сиб. отд-ние, 1993.
24. Д. Г. Звягинцев, И. В. Асеева, И. П. Бабьева, Т. Н. Мирчинк, Методы почвенной микробиологии и биохимии, М., Изд-во МГУ, 1980.
25. Е.В. Аринушкина, Руководство по химическому анализу почв, М., Изд-во МГУ, 1970.
26. D. S. Jenkinson, D. S. Powlson, *Soil. Biol. Biochem.*, 1976, **8**: 3, 209–213.
27. F. Schinner, R. Ohlinger, E. Kandeler, R. Margesin, Methods in Soil Biology, Berlin, Springer-Verlag, 1996.
28. H. Van de Werf, W. Verstraete, *Soil. Biol. Biochem.*, 1987, **19**: 3, 253–260.
29. T. H. Anderson, K. H. Domsch, *Biol. Fert. Soil.*, 1985, **1**: 5, 81–89.
30. М. В. Якутин, Сиб. экол. журн., 2001, **3**, 299–304.

## Formation and Evolution of Soils of Drying Territories of Salted Lakes (on the Example of the Lake Chany)

V. A. KAZANTSEV, L. A. MAGAEVA, M. T. USTINOV, M. V. YAKUTIN

Formation of the soil cover in a dried territory begins immediately and is characterized by a high rate of soil formation process. For the period of 40–60 years, solonetz, solonchaks, meadow soils form complicated complexes. The pulsing character of drying – water impounding process complicates the general picture. Older complexes of soils undergo washing off, are overlapped with fresh alluviations on which younger soils, often of a different type, are formed (solonchaks on buried solonetz).

It is established that soil formation in intensively drying territories of salted lakes goes through sod-meadow station skipping that of swamps, which differs from the stabilized notions. Rather intense are the processes of formation of soil relief forms on sites of dried lake bottom.

In the paper, halogegeochemical characteristic of soils and peculiarities of functioning of the macrobiota are given. Classes of halogeosystems are presented. The time course of changes of ground and surface waters is shown. Such studies have been for the first time carried out in Siberia.